

Fig. 1

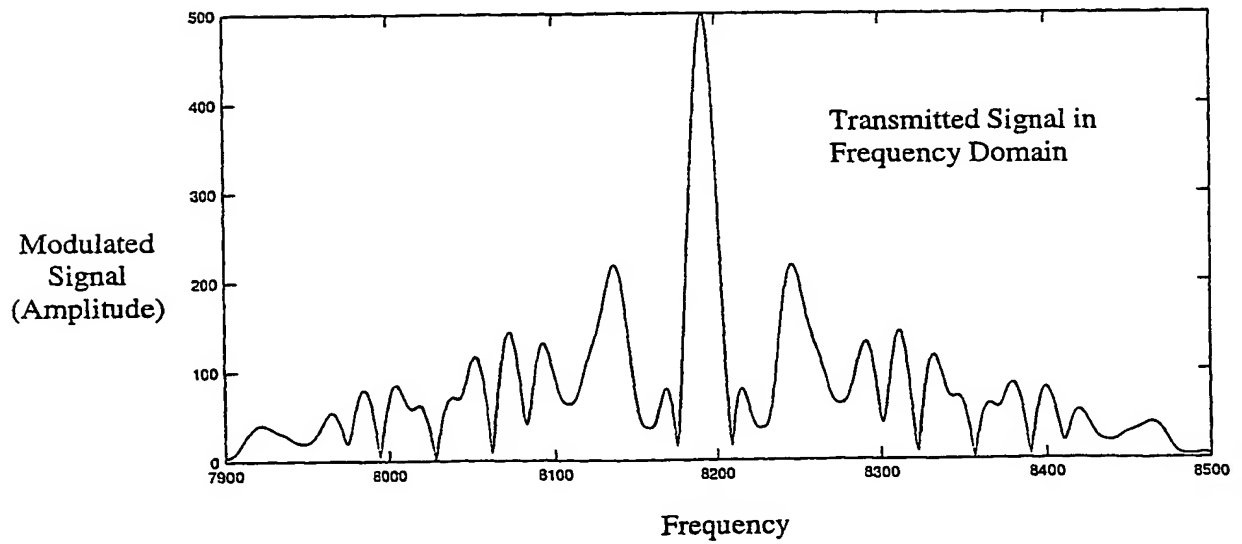


Fig. 2

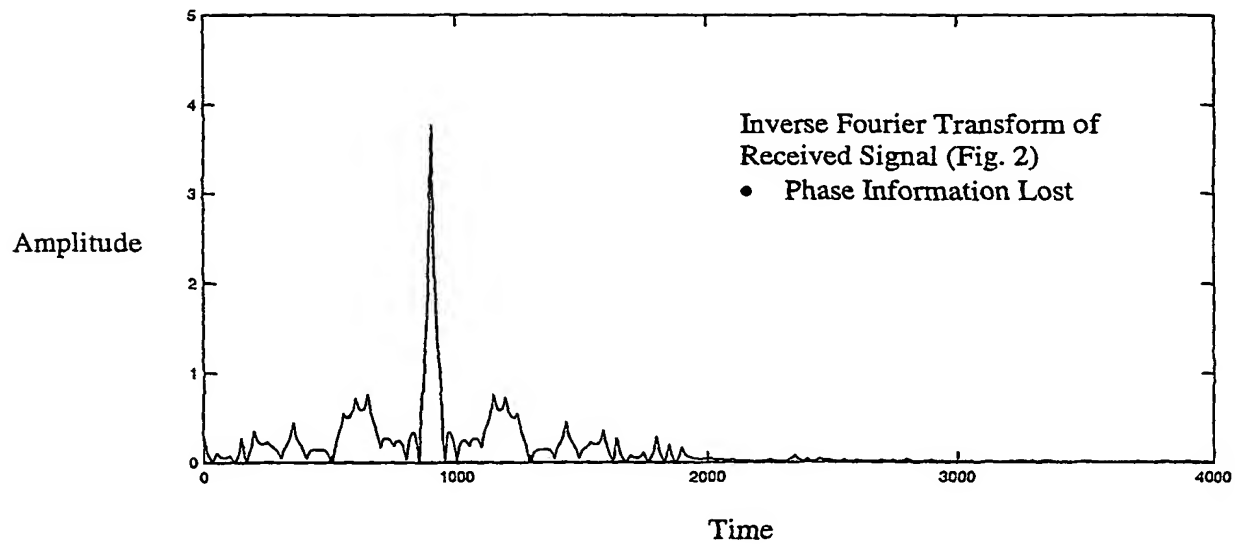


Fig. 3

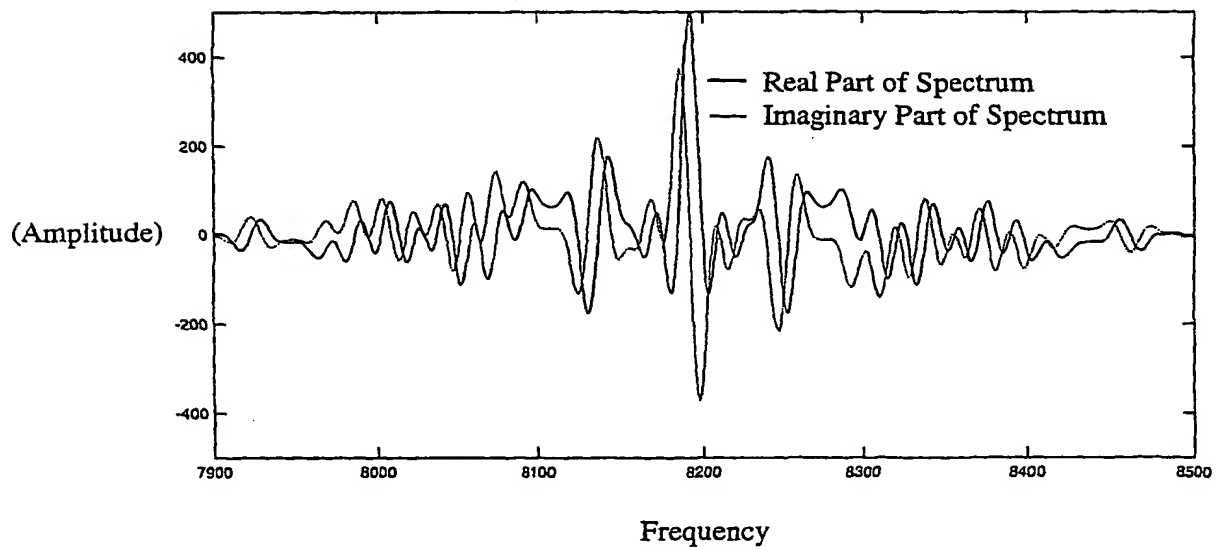


Fig. 4

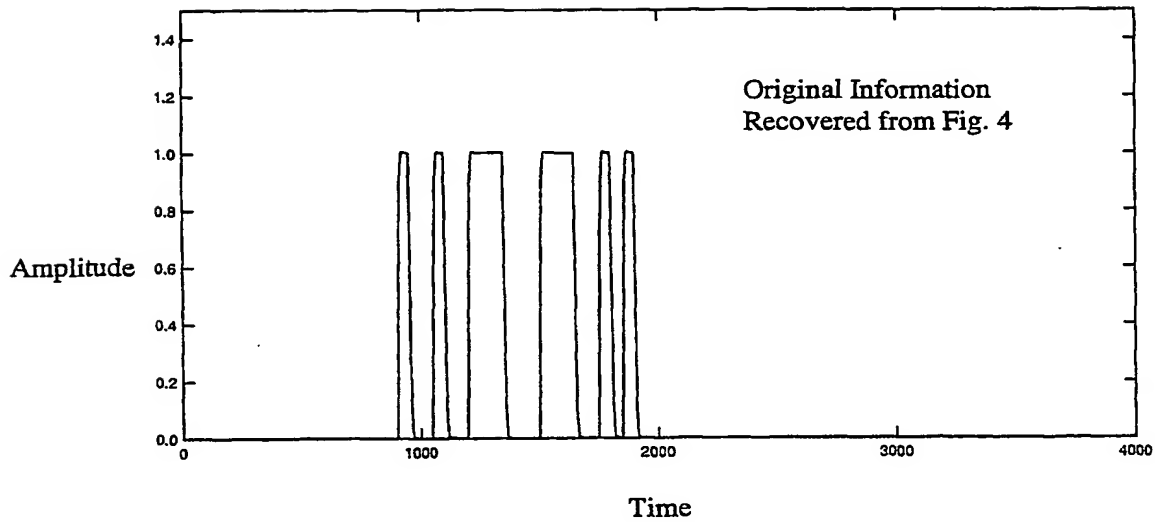


Fig. 5

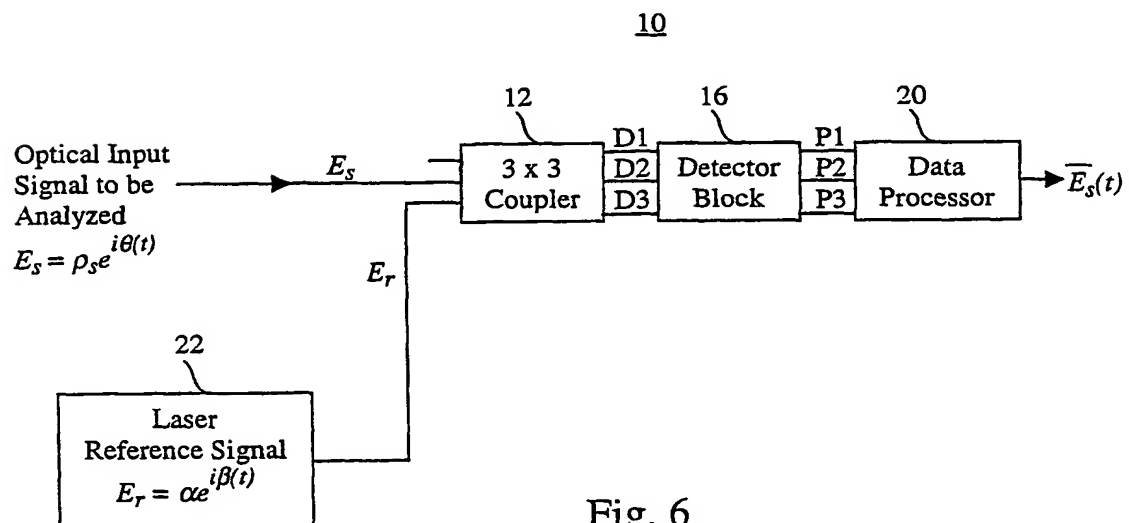


Fig. 6

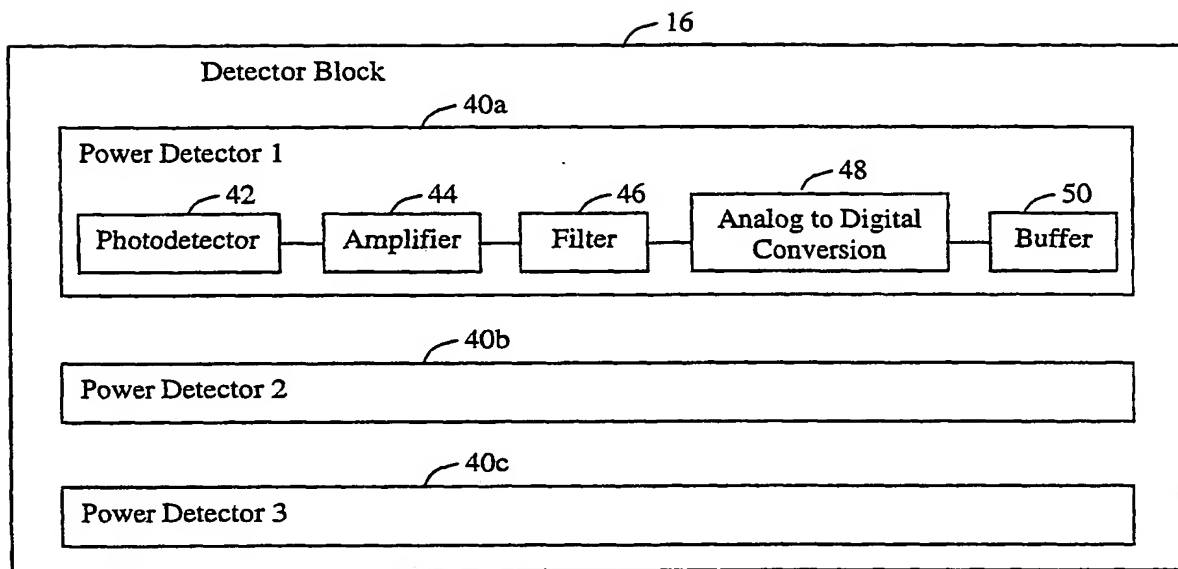


Fig. 7

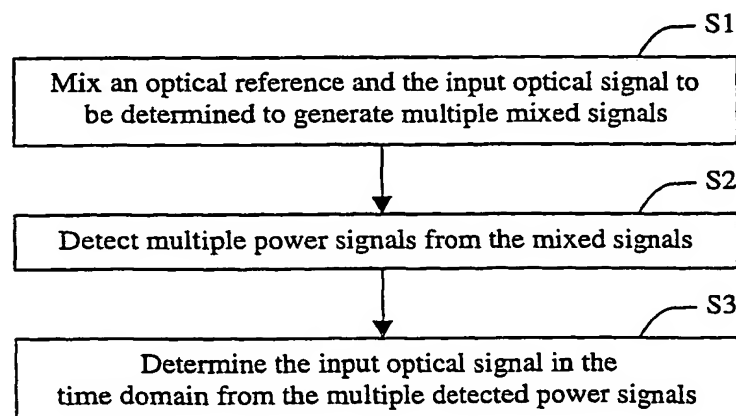


Fig. 8

Fig. 9A

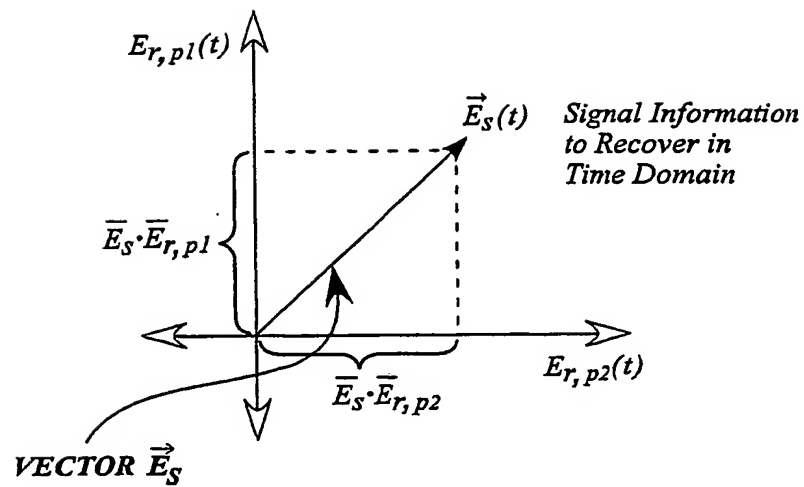


Fig. 9B

Output at Detector Block 1 ($\vec{E}_S \cdot \vec{E}_{r,p1}$)

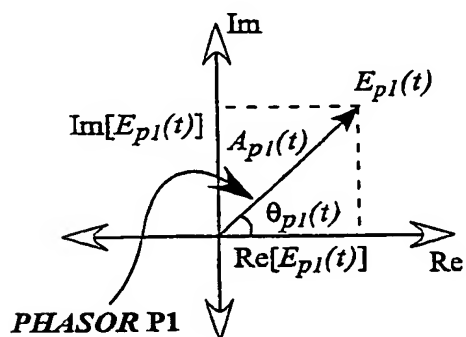
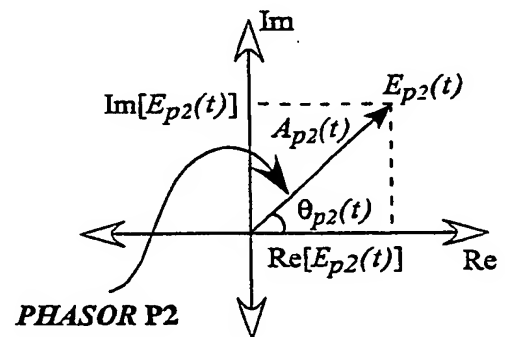


Fig. 9C

Output at Detector Block 2 ($\vec{E}_S \cdot \vec{E}_{r,p2}$)



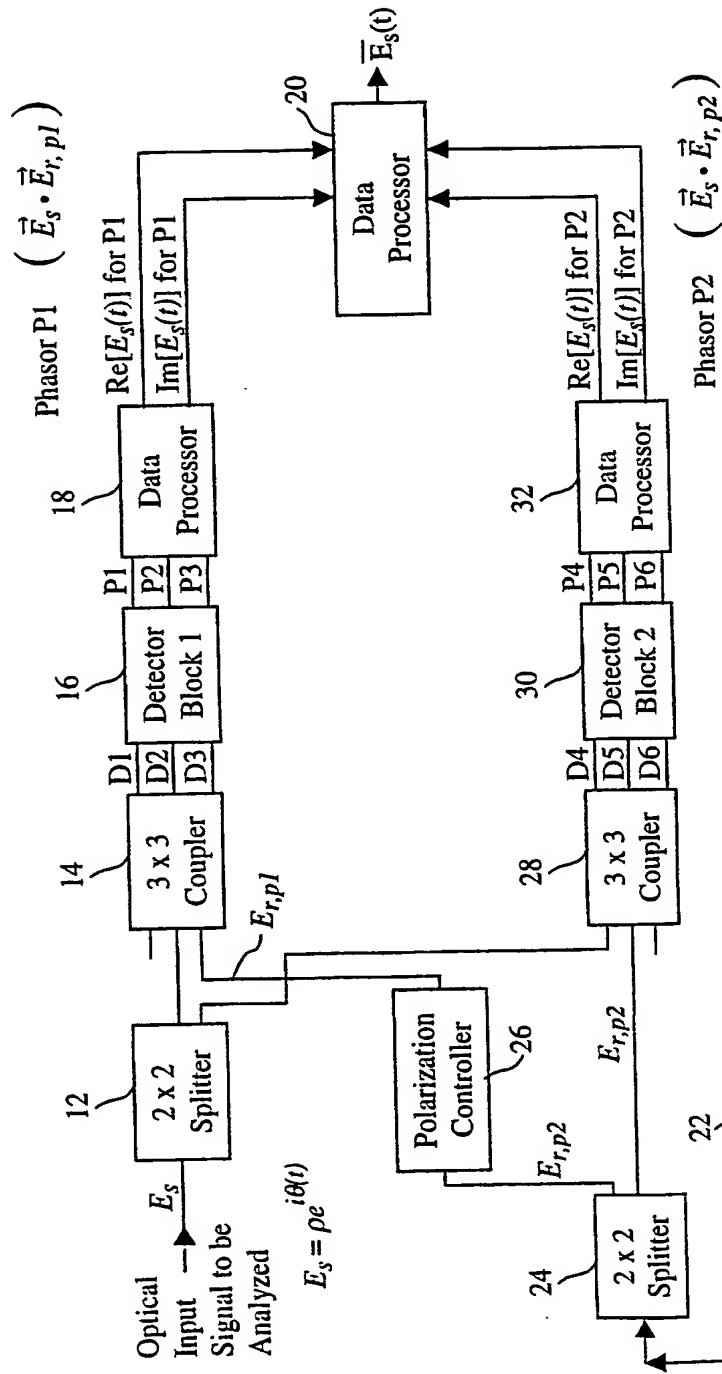


Fig. 10

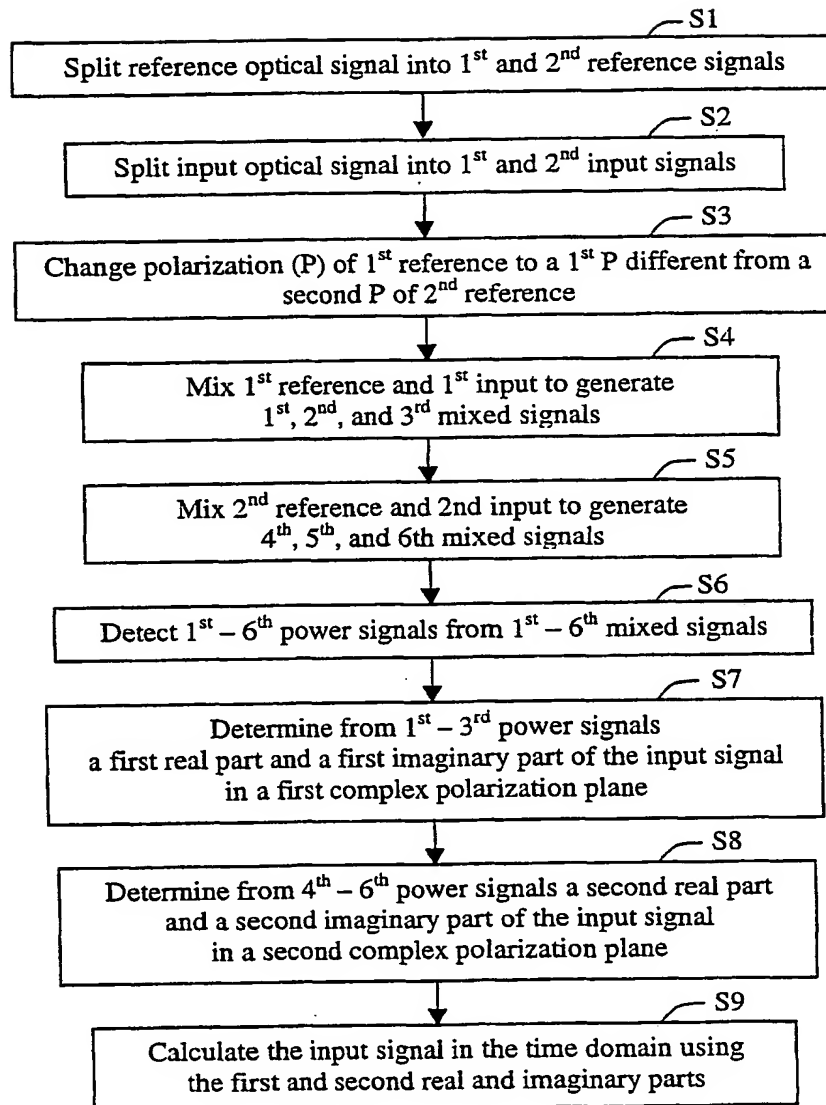


Fig. 11

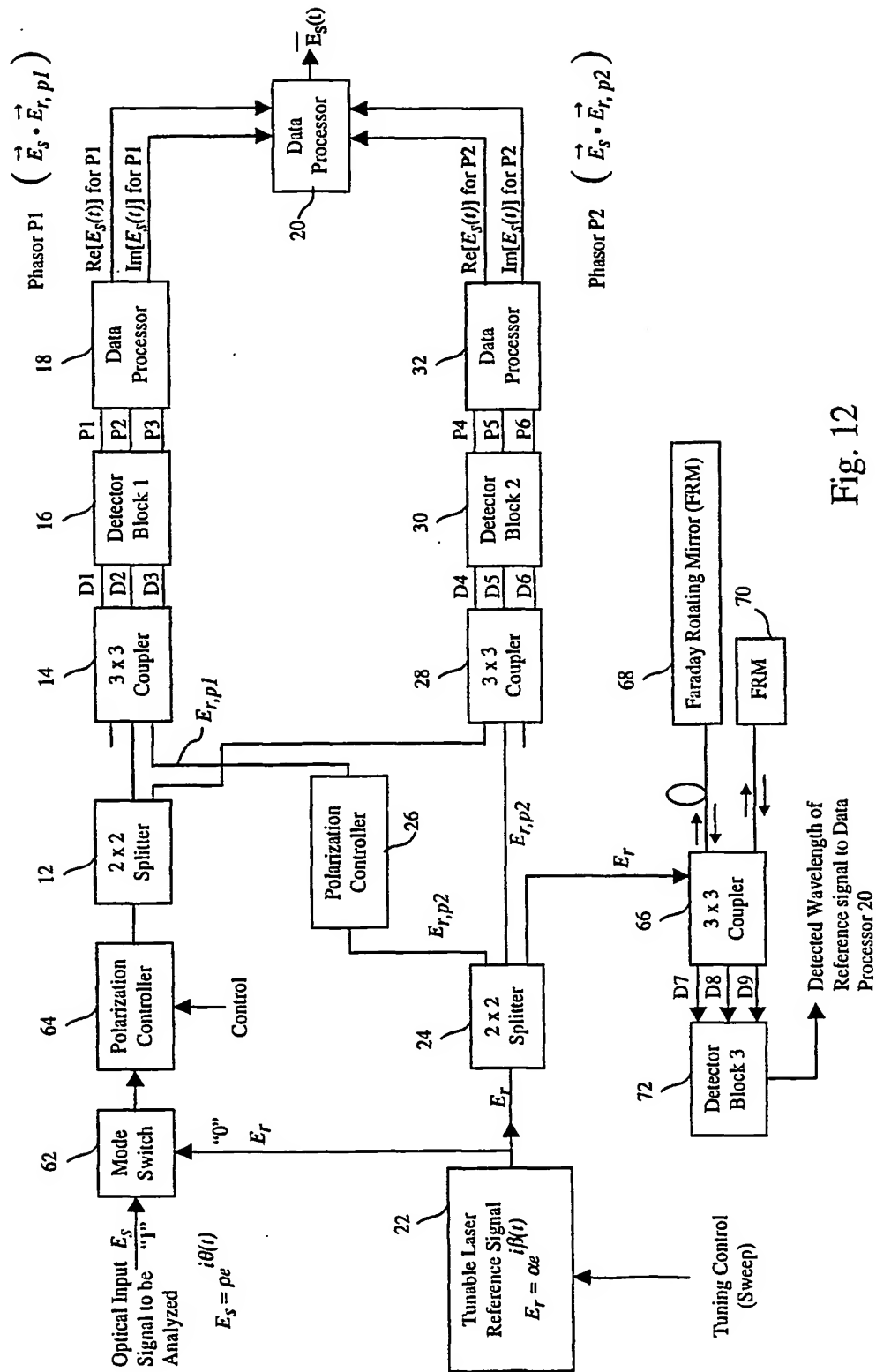


Fig. 12

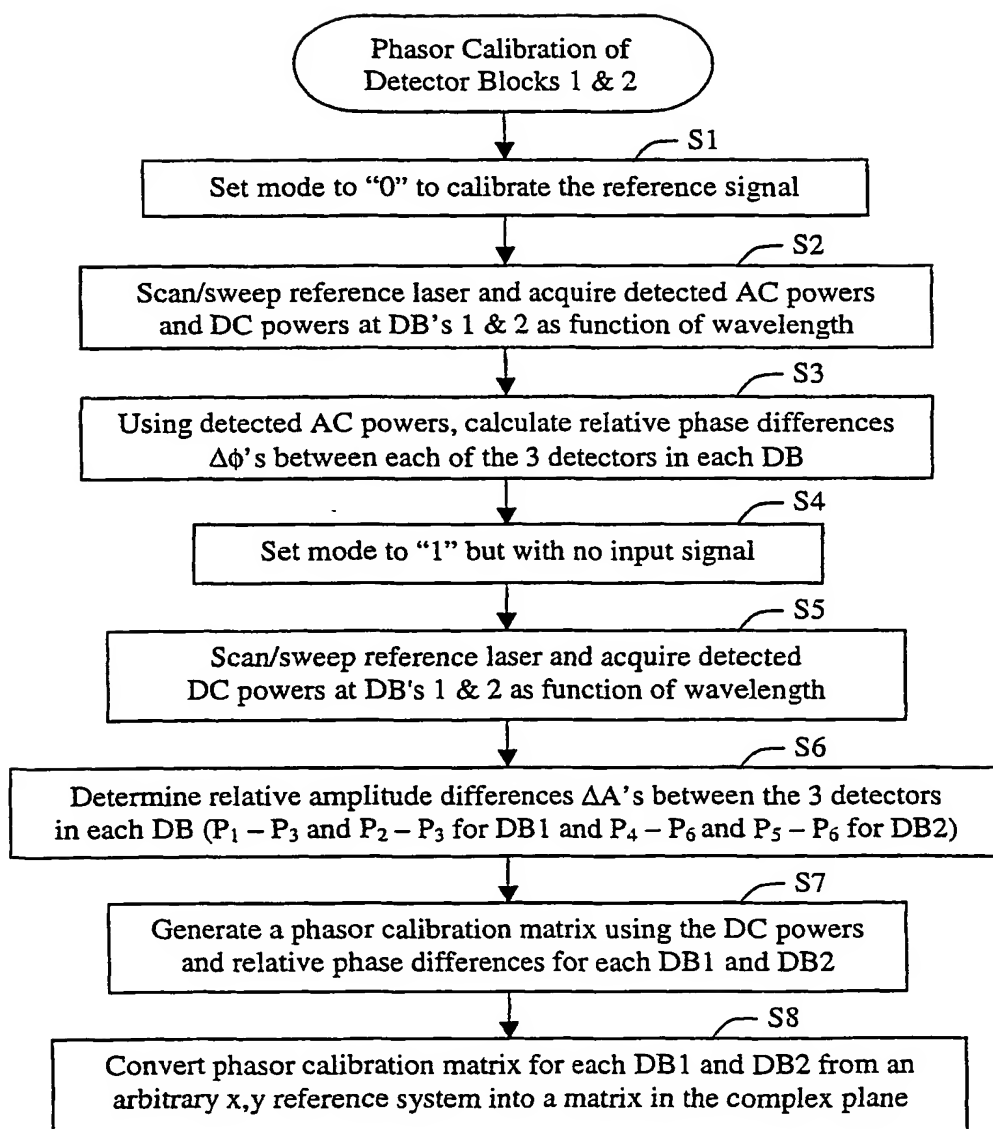


Fig. 13

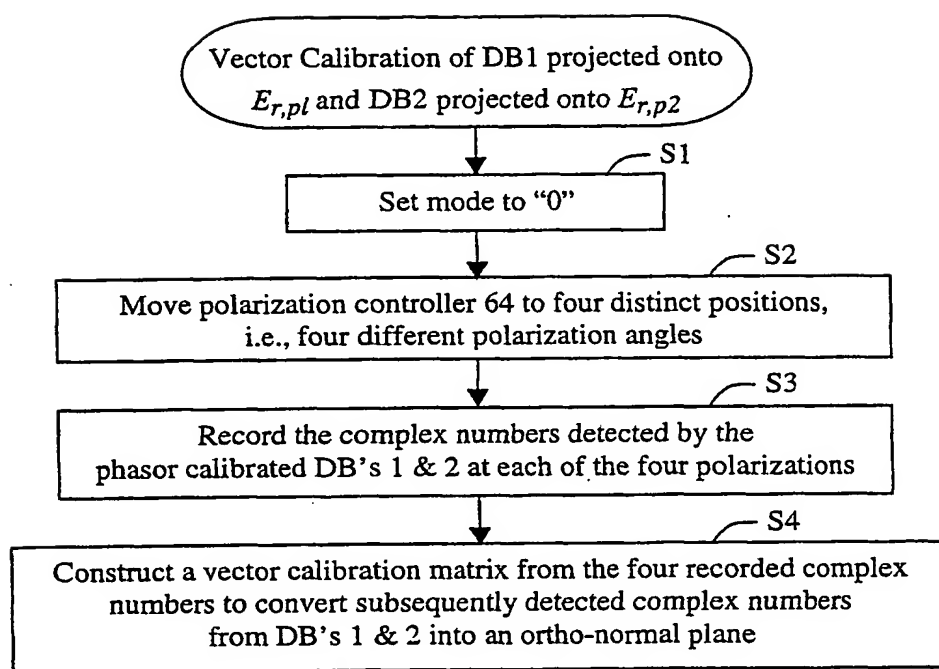


Fig. 14

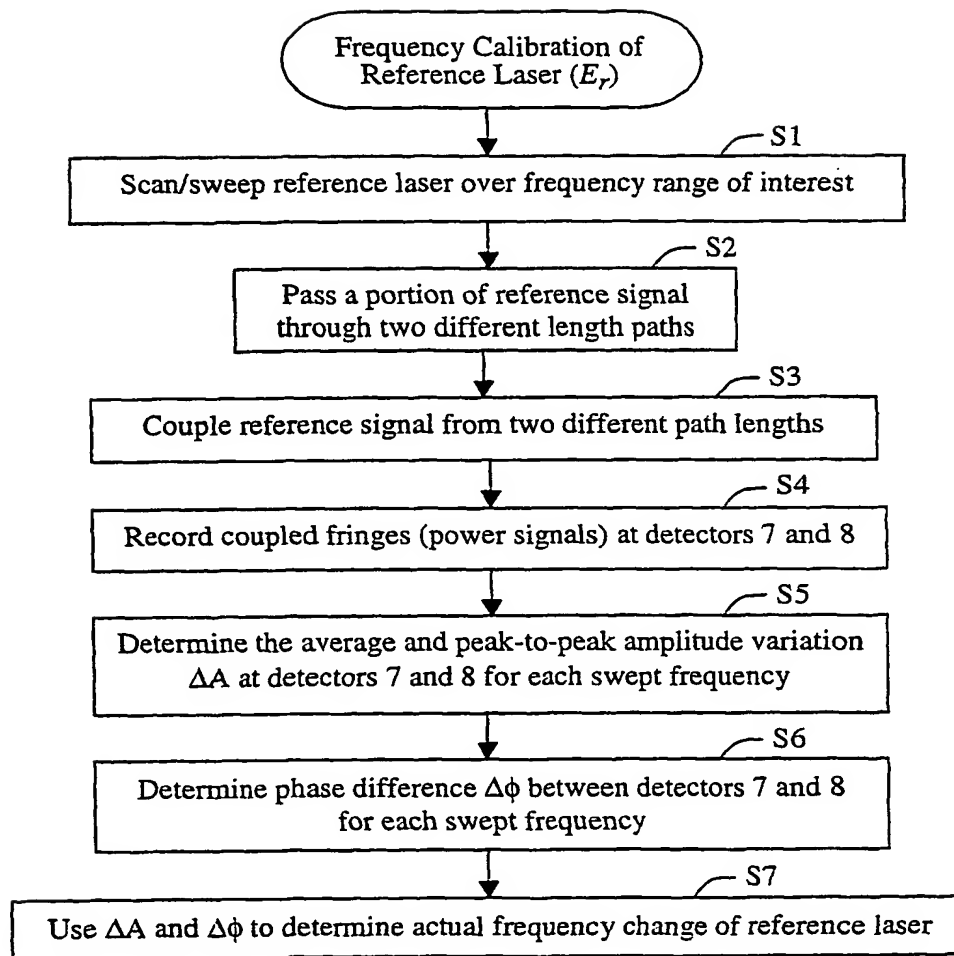


Fig. 15

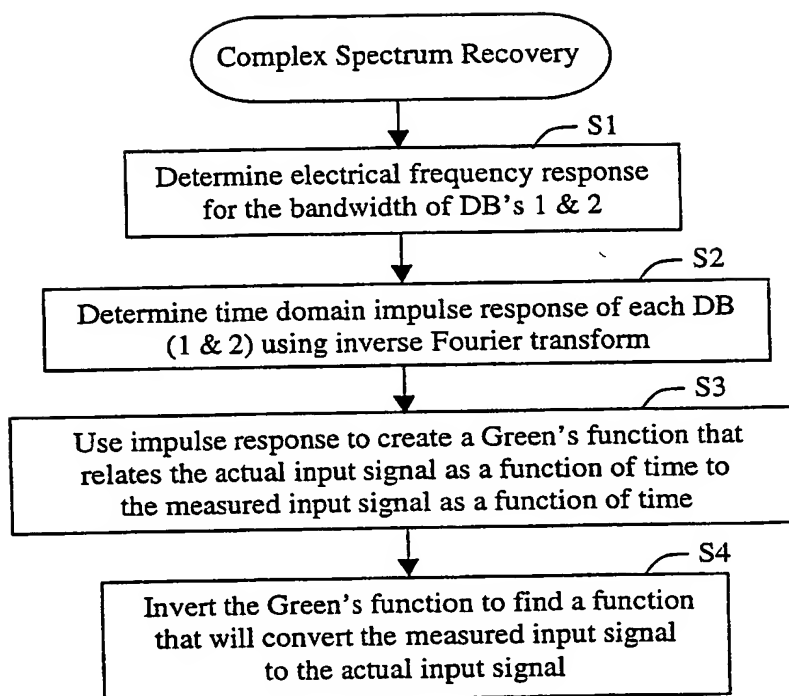


Fig. 16